

I-83 部分合成桁の境界部に於ける応力の一般的研究及び模型実験

東京都立大学 正員 工博 奥田秋大

東京都建設局 正員 吉田 明

東京都建設局 正員 ○佐藤政勝

新国際空港公園 正員 間瀬孝一

1. はじめに

ゲルバー桁橋の定着桁の真の曲げモーメント区間に全くジヤールを用ひず、コンクリート断面を無視した非合成とし、正の曲げモーメント区間はジヤールを用ひて合成させた部分合成桁とする方法が考えられた。この部分合成桁に於て、合成非合成の境界範囲、中立軸の変移及び応力伝達状態等についてまだ解明されていない問題がある。模型実験によりこれらの問題に対する解析方法を見だし、定着桁の正の曲げモーメント区間を合成桁とする部分合成桁として経済的な設計を可能ならしめる事を目的とする。

2. 鋼桁（コンクリート打設前）の問題

A) 上フランジ切り欠き形状

上フランジの切り欠き形状を矩形、円形、三角形、橢円と変化させて各々の形状に於ける応力集中、応力分布状態、影響長と比較検討する。理論計算は矩形切り欠き形状に対しては A_{avg} の応力関数を用い、円形、三角形、橢形形状に対しては差分方程式を適用して解いた。

図-1

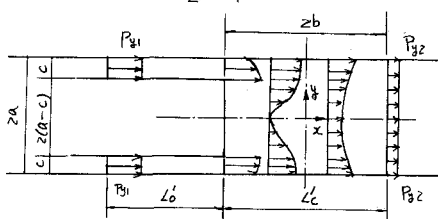
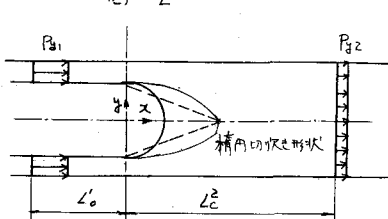


図-2



$$F = \frac{a_0}{4} y^2 + \sum_{n=1}^{\infty} \frac{1}{d_n^2} (A_n \cosh d_n x + B_n \sinh d_n x + C_n \sinh d_n x + D_n \cosh d_n x) \cos d_n y$$

$$F: a_{avg} \text{ の応力関数 この時 } \bar{x}_x = \frac{\partial F}{\partial y}, \bar{y}_y = \frac{\partial^2 F}{\partial x^2}, \bar{z}_{xy} = -\frac{\partial^2 F}{\partial x \partial y}$$

差分方程式 (差分目を Δx , Δy とすれば)

$$F_k \{ 6 \left[\left(\frac{\bar{x}_x}{\Delta x} \right)^2 + \left(\frac{\bar{y}_y}{\Delta y} \right)^2 \right] + 8 \} - 4 \left\{ [1 + \left(\frac{\bar{x}_x}{\Delta x} \right)^2] (F_{k+1} + F_{k-1}) + [1 + \left(\frac{\bar{y}_y}{\Delta y} \right)^2] (F_{k+1} + F_{k-1}) + F_{k-1} + F_{k+1} \right\} + \left(\frac{\bar{x}_x}{\Delta x} \right)^2 (F_{k+2} + F_{k-2}) + \left(\frac{\bar{y}_y}{\Delta y} \right)^2 (F_k + F_{k+2}) = 0$$

$$\bar{x}_x = (F_k - 2F_{k+1} + F_{k-1}) / \Delta x^2, \bar{y}_y = (F_{k+1} - 2F_k + F_{k-1}) / \Delta y^2, \bar{z}_{xy} = -(F_{k+1} + F_{k-1}) - (F_{k+1} + F_{k-1}) / 4 \Delta x \Delta y$$

まとめ

1. 切り欠き形状は応力伝達の考慮すれば三角形形状が良好であるが形状の頂点で異常応力が起る。本実験の四種類の内では椭円形形状が最もよいと思われる。

2. 底力の乱れの影響長は $L_c \approx \frac{1}{4} \times (2a)$, $L_b \approx \frac{1}{2} \times (2a)$, $L_d \approx \frac{5}{4} (2a)$ であった。

3. 応力集中は切り欠き形状変化部中央附近で起り各形状大差はない、は理論の 1.4 倍であった。

B) 構造の問題

外力による曲げモーメントを一定にさせた
区間では、外力による切削力は零であるが断面変化
によるせん断力が発生する。このせん断力はほり理論
では断面変化部の内で発生するが実際にはある区間
で分布されるものと考えられる(図-3)

まとめ

4. 断面変化によるせん断力分布中は
上フランジの応力分布影響長さとほぼ等しい、橋円形状が最も大きい。

5. 中立軸の移行は各形状ともほぼ直線的に変化する。この率は応力分布中でせん断应力が
一定に分布すると思われる。

C. 合成軸としての問題

図-4

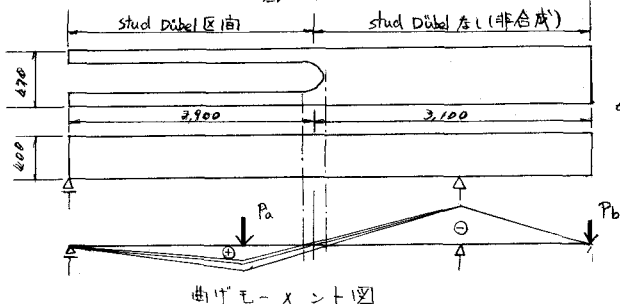


図-5

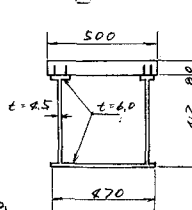
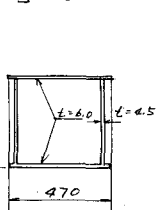


図-6

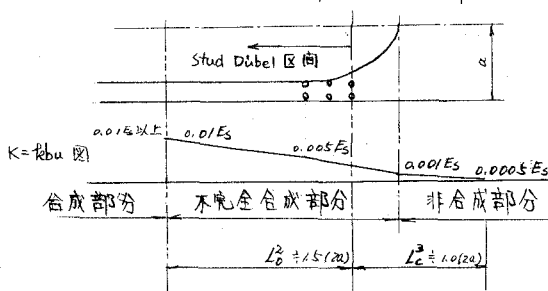


合成断面 非合成断面

$$I_A = 47,000 \text{ cm}^4$$

$$I_B = 28,042 \text{ cm}^4$$

合成非合成(stud Dubel 区間を合成区間にする)は stud Dubel 最終端が境界ではなく、
ある区間で漸次変化する事は多い。stud Dubel が合成軸上に十分剛性を有すると考え
される $K=k_{bu} = 0.01E_S$ 以上の区間を合成軸(完全)とし、 $K=k_{bu}$ が $0.01E_S \sim 0.0015E_S \sim 0$ と変化
する部分(区間)を不完全合成軸とし理論計算を行なう場合実験とほぼ一致した。



まとめ

6. stud Dubel 最終端を合成非合成の境
界とすると、stud Dubel 側に約肉フランジ
中の 1.5 倍又は stud Dubel 6~10 倍(本実験では径 6~9 stud Dubel 使用)位
は十分な合成作用を持たず、区間を設
けねばならぬと思われる。

7. 断面変化部では外力による曲げモーメントの応力集中に対しては余裕があると思われるが
せん断应力は比較的大きく断面変化におけるせん断力が附加されるのでせん断应力に
対して十分断面を検討する。